

11-43

昭和 50 年 2 月 4 日

# 水力学の理論に関する 2 題

別冊付録

## 内容

I. 長い管路における断面内流れ  
(細長体理論の応用) 1~4

II. ポンツの理論 12つまで。

1. 凹形翼列を直線翼列に変換する事 1

2. 最も簡単な遠心ポンツ不完全型 3

3. 軸流ポンツにおける翼列理論の説明 8

## I. 長い管路における断面内流れ

飛翔体、船等の細長い物体が流体中に運動する場合の流体力、流れ様子等については所謂細長い理論がよく使われる。

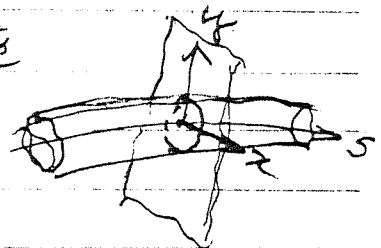
この理論と言るのは物体が非常に細長いとするとその軸は一直な面内では流体運動は2次元運動となると言う事で直観的に理解しやすいのである。

一方流体力学的実験設備において種々の管路を設計なければならぬが特にそれを曲げる事、又断面形状を変える事についてでは資料を手に見当らず又計算するとして是大変な手間を要する。

之では上述の理論をそのような場合に適用して置よう。

なお簡単の為に粘性は無視するものとする。

さて管路の中心線沿って距離 $s$ を測る事としその曲率半径は充分大きいものとし断面形状も緩やかに変るものとすると軸方向の流速は断面内で一様である。 $(U(s))$ としよう



$$\left( \frac{\partial^2}{\partial x^2} + \frac{\partial^2}{\partial y^2} + \frac{\partial^2}{\partial s^2} \right) \phi(x, y; s) = 0, \quad (1)$$

$$\frac{\partial \phi}{\partial s} = U(s), \quad (2)$$

となる。  
軸方向の速度  $U(s)$  の変化は連続の定理より

$$\frac{d}{ds} U(s) = - \frac{U(s)}{A(s)} \frac{d}{ds} A(s) = \frac{\partial^2}{\partial s^2} \phi(x, y; s), \quad (3)$$

昭和 年 月 日

$A(s)$  は  $s$  における 管路断面積 とする。

これを (1) に代入すると

$$\left( \frac{\partial^2}{\partial x^2} + \frac{\partial^2}{\partial y^2} \right) \phi(x, y, s) = -\frac{d}{ds} U(s) = \frac{U}{A} A' , \quad (4)$$

となって 左辺は 断面内で 定数 であるから 上式は  
面内で ポアソンの 偏微分方程式 となる。

よって 解は 特解、今の場合は 简单で

$$\phi_p(x, y) = \left\{ \frac{x^2}{2}, \frac{y^2}{2}, \frac{x^2+y^2}{4} \right\} \times \frac{U}{A} A' , \quad (5)$$

と 調和関数の 和として 表わされる。

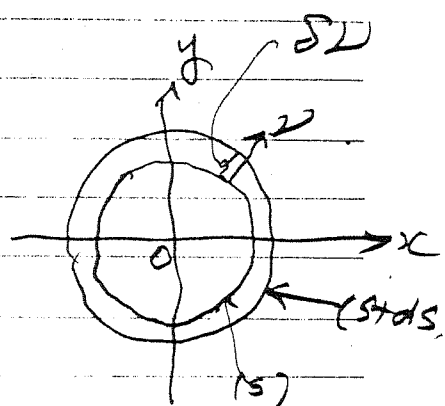
ここで 付す は 範囲条件 は。

法線速度  $v$  について 指定 される

今  $s$  における 管路断面周曲線

に 斜して 外側を 法線  $\nu$  を立て これが

$(s+ds)$  における 周曲線 との間には  
はさまれた 長さを  $\delta s$  とすると。



$$\frac{\partial \phi}{\partial \nu}(x, y, s) = U \frac{\delta s}{\delta s} , \quad (6)$$

で 表えられる。

従つて 得す

$$\oint_{\text{管}} \frac{\partial \phi}{\partial \nu} dt = U \oint \frac{\delta s}{\delta s} dt = U \frac{8A}{\delta s} , \quad (7)$$

なる 条件 があり これは 上の 特解 は 制限 する。

以下 簡略化により によって 考えて ゆる。

## i) 扩大管

内管が扩大(又は縮小)する場合

(半径)

$$\phi(x, y; s) = \frac{r^2}{4} \frac{U A'}{A}, \quad r^2 = x^2 + y^2, \quad (8)$$

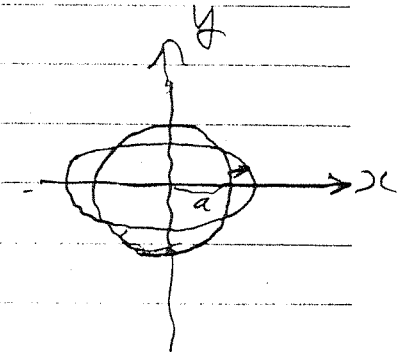
とおくと  $A = \pi a^2$ ,  $A' = 2\pi a a'$  故.

$$\phi = U \frac{r^2}{2} \cdot \frac{a'}{a}$$

$$\left. \frac{\partial \phi}{\partial r} \right|_{r=a} = U r \frac{a'}{a} \Big|_{r=a} = U a' = U \frac{\delta a}{\delta s}, \quad (9)$$

## ii) 内管が扁平化する場合

$$\left. \frac{\delta \phi}{\delta s} \right|_{r=a} = b \cos 2\theta, \quad \cdots (10)$$



とすると

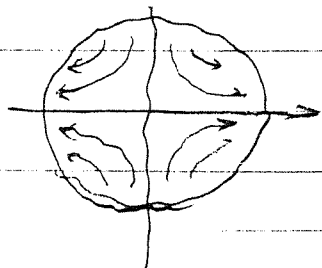
$$\int_0^{2\pi} \frac{\delta \phi}{\delta s} d\theta = 0, \quad (11)$$

であるから断面積の変化はない、特解を用ひる  
必要はない。

視察によつて

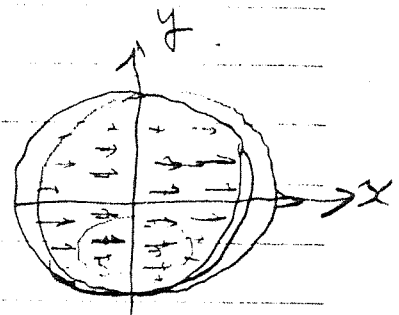
$$\phi(x, y) = \frac{Ub}{2a^2} (x^2 - y^2), \quad \cdots (12)$$

となるが流れは右図のようである。



## iii) 曲管(円管)

$$\frac{\partial \phi}{\partial s} = -L \cos \theta, \quad (13)$$



をおくと曲がり管の場合で(11)から  
なり立つねやはり断面積は不变で

$$\phi(x, y) = U \frac{b}{a} x, \quad \dots (14)$$

である。

$$\frac{\partial^2 \phi}{\partial x^2} + \frac{\partial^2 \phi}{\partial y^2} = U \frac{b}{a}, \quad (15)$$

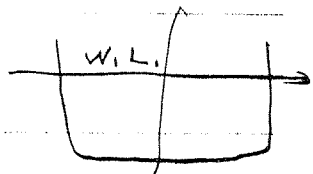
とよって粘性を考えなければ"z"方向分速度は一律  
に至る。この

実際の流れでは端が出来て複雑になりますがこ  
のようして出来るのはボルテミセル流れによる  
二次流れである。

## iv) 自由表面のある場合。

この場合は水面の境界条件は

$$\frac{\partial \phi}{\partial y}(x, y) = 0 \quad \dots (16)$$



つまり壁条件と同じである。

水面高さについても同じように求められる。

この点は造波抵抗理論におけると同様である  
がその場合には小さな渦発生を必要とするのでそれは  
述べない。

昭和 年 月 日

内径

水力学 2題

工具の管路内の断面内流れ  
(粗長径理論の応用)

23

Ⅱ. 遠心ポンプの理論曲線.

外

1. 数学的模型.

2. トルク, 水頭, 効率.

3. 境界値問題

四形翼列の寫像

## 五、ホーフの理論

昭和 年 月 日

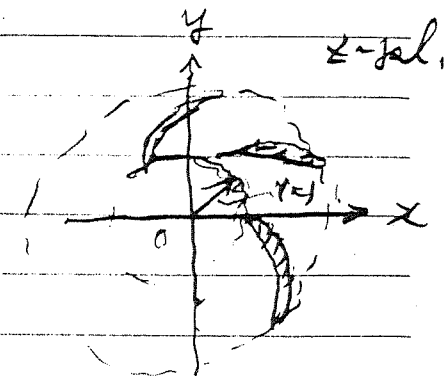
1. 円形翼列を直線翼列に変換する事

z-面の円形翼列を

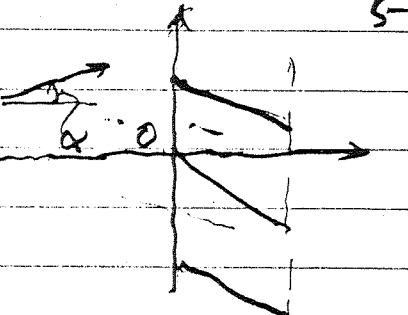
$$S = \log z, \dots (1)$$

今12枚で1面12寫像  
すると羽根か対数螺旋で  
厚さなしとするとz-面の直線  
に寫像される。

従って円形翼列問題は  
直線翼列のそれに變換される。



今静止座標系に平行な直線  
速度ポテンシャルを  $f(z) = \phi + i\psi$  とする。  
R-面の原点には流量Qの吹出しとPの  
circulationがあるとするとそのポテンシャルは



$$\begin{aligned} f_0(z) &= \frac{1}{2\pi} (Q - iP) \log z \\ &= \frac{Q}{2\pi} e^{i\theta} S, \end{aligned} \quad (2)$$

$$\text{但し } g = \sqrt{Q^2 + P^2}, \tan \alpha = P/Q,$$

となる故 R-面では  $\phi$  は一様流れとなる故  
固定羽根の場合の境界条件が飛躍上り

$$\psi = \text{const.}, \quad (3)$$

故全く運動量則と違わない。

大空司，機論集 Vol. 32, No 233 (昭和 41 年 1 月)

昭和 年 月 日

しかし回転羽根では境界条件は少しく変つて  
2-面羽根上に

$$\psi = \frac{\omega}{2} z \bar{z} = \frac{\omega}{2} r^2 = \frac{\omega}{2} r^{5+\delta} + \text{const}, \quad (4)$$

$\uparrow \text{const}$        $\uparrow \text{const}$

となる点が異なる。

しかし2-面を更に単位円に寫像すると  
Poissonの公式を利用して容易にポテンシャルを  
求めることが出来る。

またポテンシャルは

$$f(z) = f_0(z) + f_\theta(z) + f_p(z), \quad (5)$$

のようになりこれで  $f_\theta(z)$  による  $f_\theta$  は circulation  
のないし  $f_p$  は circulation によるものとするか他し  
ての總和を2面の原点にあるものと見なすとする。

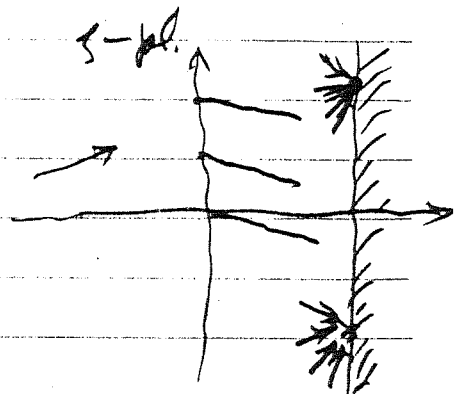
アリは任意である 有限差分法 の条件はつけて  
定める。

円形

最終的に上の考案をケーニクの場合は場合に適用すると  
右図のようになる(2)の寫像で円形

ケーニクは直線壁となり

出口はその上の枝込み  
として表現される。



## 2. 機+渦車を遠心ポンプ模型

前節最後の考案から考えてケーシングの影響を考慮した理論曲は大切であると認められる。

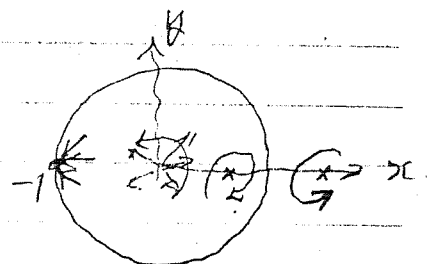
しかし吐出時は吐出口が円筒形に近づいて羽根と相対運動をするので非定常運動となり大変難しくなる。

又ケーシングは円形ではないので等角速度法は不便であり、又厚みの影響まで考えると直接境界面内進をとる。考えたのが計算機の使用の点で便利である。<sup>\*</sup>

さて最も簡単な場合として円形ケーシングの中における circulation がある場合について考えよう。

中心は流量  $Q$  の吐出しと

$P$  の circulation を置き、 $z = -1/2$  吐出口を置く。



羽根の circulation は  $P/n$  である。

複素速度ポテンシャルは

$$f(z) = f_g(z) + f_p(z), \dots (1)$$

$$f_g(z) = \frac{-Q}{2\pi} \log z + \frac{Q}{\pi} \log(z+1), \dots (2)$$

$$f_p(z) = \frac{iP}{2\pi} \log z + \frac{iP}{2\pi n} \sum_{k=0}^n \log \left\{ \frac{z - \frac{1}{P} e^{i\frac{(2k+1)\pi}{n} + i\omega t}}{z - P e^{i\frac{(2k+1)\pi}{n} + i\omega t}} \right\}, \dots (3)$$

$\omega$  は角速度、 $t$  は時間とする。

\* 神元他；機械学 vol.30, No.216 (昭39) 他。

圧力は ベルヌーイの定理より。

$$\frac{P}{\rho} = \frac{2\phi}{\Delta t} + \frac{1}{2} \left( \frac{df}{ds} \right)^2 + Cst. \quad (4)$$

である。

揚程は、吐出口と吸入口の圧力の差であるが、両者における流速が等しいとすると式右辺第一項の差であるが、時間的に変動するので平均をとると

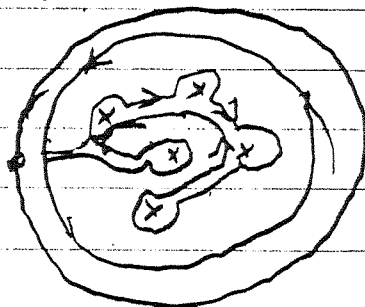
$$\frac{1}{T} \int_0^T \frac{P}{\rho} dt = gH = \frac{1}{T} [\Delta\phi]^T \quad (5)$$

のように書ける。ここで  $\Delta\phi$  は  $x=0$  と  $-1$  における  $\phi$  の差であるが  $\phi$  は多価関数となつてるのでそのとり方を指定しなければならない。

そこで羽根と原点と  $x=-1$  と  $x=0$  に向かう  $\Delta\phi$  のように cut を作つておく。

すると  $\Delta\phi$  は  $x=0$  と  $-1$  において一応定められる。

(しかし羽根が一回転すると



羽根は原点と  $x=-1$  の間の cut を一度通つてしまつて、結局飛行体で  $P$ だけ  $\phi$  が異なる事になり、結果。

$$gH = \frac{\omega}{2\pi} P \quad (6)$$

を得るがこれは従来の結果に一致する。(前出藤本等)

これを羽根に働く力は Milne-Thomson<sup>\*</sup> Blasius の公式を用いて

昭和 年 月 日

M

今はトルクだけあればよいか

$$M = M_t + M_B \quad , \quad (7)$$

$$M_t = P \frac{d}{dt} \int z F dz \quad , \quad (8)$$

$$M_B = Re - \frac{\rho}{2} \int z \left( \frac{df}{dz} \right)^2 dz \quad , \quad (9)$$

こうえらねる。

$M_t$  は時間変動項であるから 定回転の時は  
平均すると 0 となると考えられるので  $M_B$  (今は  
「三次元・トルクと並づけよう」だけ考えねば) より。

$$\frac{df_0}{dz} = \frac{-Q}{2\pi} \frac{1}{z^2} + \frac{Q}{\pi(z+1)} \quad , \quad (10)$$

$$\frac{df_0}{dz} = \frac{iP}{2\pi z} + \frac{iP}{2\pi n} \sum_{n=0}^{\infty} \left( \frac{1}{z - \frac{z_0}{P^n}} - \frac{1}{z - z_0} \right)$$

$$z_0 = \rho e^{i(\frac{2\pi}{n}2t + \omega t)}$$

今  $z_0$  の実部  $z_0$  又複素の  $z_0$   $n=1$  とし

$$z = s + z_0$$

$$z \left( \frac{df}{dz} \right)^2 = \frac{(s+z_0)}{4\pi^2} \left( \frac{2Q}{s+z_0+1} + \frac{Q}{s+z_0} + \frac{iP}{s+z_0} + \frac{P}{s+z_0 - \frac{z_0}{P}} - \frac{P}{s} \right)^2$$

$$= \frac{(s+z_0)}{4\pi^2} \left\{ -\frac{P}{s} + A_0 + \sum_{n=1}^{\infty} A_n s^n \right\}^2$$

$$-\frac{P^2}{s^2} - \frac{2AP}{s} + C$$

$$= \frac{1}{4\pi^2} \left[ \frac{P^2 - 2AP}{s} + \sum_{n=0}^{\infty} B_n s^n \right] \quad , \quad (11)$$

$$A_0 = \frac{2Q}{1+z_0} - \frac{Q-iP}{z_0} + \frac{P}{z_0 - \frac{z_0}{P}} \quad , \quad (12)$$

題12

$$M_B = 2\operatorname{Re} \left\{ \frac{\rho}{4\pi i} (1 - 2AT) \right\}, \quad \dots \quad (3)$$

この時向平均をとる。

$$\bar{M} = \frac{1}{T} \int_0^T M_B dt = \frac{\omega P}{4\pi^2} \operatorname{Re} \int_0^T i A P dt \quad (4)$$

今  $u = e^{i\omega t}$  ときと  $du = i\omega e^{i\omega t} dt$ ,  $i\omega dt = \frac{du}{u}$

$$\int_0^T \frac{i\omega dt}{2\pi} = \frac{1}{\rho} \int_0^T \frac{du}{u^2} = \frac{1}{\rho} \left[ \frac{1}{u} \right] = 0.$$

$$\int_0^T \frac{i\omega dt}{1+2\omega} = \int_0^T \frac{du}{(1+\rho u)u} = \int \left( \frac{1}{u} + \frac{\rho}{1+\rho u} \right) du = 2\pi$$

とすると

$$\bar{M} = \frac{\rho}{4\pi} QP, \quad \dots \quad (5)$$

この効率は

$$\gamma = \frac{\frac{\rho \omega}{2\pi} P Q}{\frac{\rho}{4\pi} \omega Q P} = \frac{P}{2}, \quad \dots \quad (6)$$

円形翼34度+2度がなければトルクは\*

$$M = \frac{\rho Q}{2\pi} P, \quad \dots \quad (7)$$

故 効率は (6) を使って

$$\gamma = 1, \quad \dots \quad (8)$$

\*西山敬男 "流体力学(I)" p.122

昭和 年 月 日

この場合子午矢は考慮されないので(16)は1行である。  
この原因は(6)である。

と云うのはケーシングの外周の鏡像像のもの  
まで含めて考へれば

$$gH = \frac{q}{\pi} T \quad , \quad (6')$$

となり(15)と合せて  $\gamma=1$  となるからである。

結局ケーシングを考へると揚程を入力と  
する場合の倍率を失ふ事になり、する場合に  
比べて大量空気を吸ひ来る。

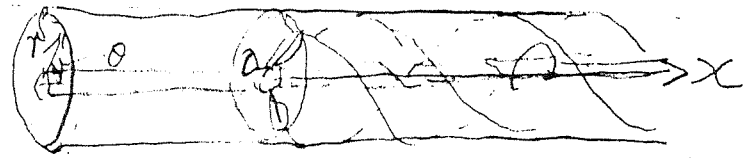
昭和 年 月 日

### 3. 軸流ボンブ<sup>°</sup>における壁列理論の導導

$\theta^{\circ}$  ラペラ理論では  
現紅渦理論によると。

計算が一般化して

且つ複数の半角を有すると考へられてる。\*



軸流ボンブ<sup>°</sup>の理論がどのような段階にあるか  
今手許に適当な参考書がないのでよくわから  
ないが、以下壁列理論との連携を検討しよう。

軸方向に  $x$  軸をとり 円筒座標  $(x, r, \theta)$  を導入し  
速度ベクトルを  $\phi$  とすると ラプラスの方程式は

$$\left( \frac{\partial^2}{\partial x^2} + \frac{1}{r} \frac{\partial}{\partial r} r + \frac{\partial^2}{\partial \theta^2} \right) \phi(x, r, \theta) = 0, \quad (1)$$

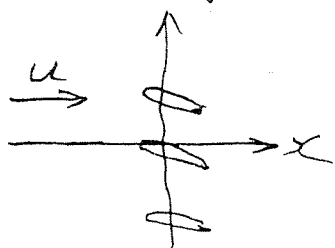
であるが  $r$  一定の円筒面を考え

$$\frac{\partial}{\partial r}(r \phi) = 0, \quad (2)$$

と仮定すると  $r \phi = C$  とおいて

$$\left( \frac{\partial^2}{\partial x^2} + \frac{\partial^2}{\partial \theta^2} \right) \phi(x, r, \frac{C}{r}) = 0, \quad (3)$$

となる故  $\phi$  は  $x-y$  面における 2 次元ボテンシャル  
となり これを展開すると右図のように  
壁よりかけ得られる。

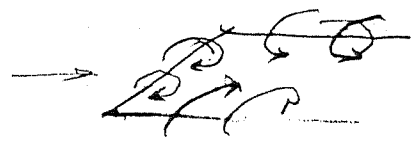


さて揚力線理論を思い  
出して比較しよう。

\* 造船学会 第2回適用ラペラミーティング 1971

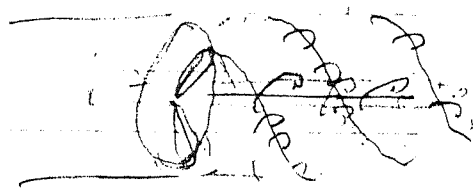
昭和 年 月 日

その時は上の翼面の生能を12  
に対するものは翼面の  
2次元生能である。



翼理論においてはこれに対して  
主流に平行な湯の誇導速度の補正を  
する様である。

今の場合にはそれは  $12^\circ$  の周り  
の湯とケーシニグ面の間  
(縦線張) となる。



これらの間の誇導速度を考え

ればよりのであるから  $12^\circ$  の上昇角と  
連ってケーシニグ面で誇導速度  
が消える条件が必要であり、今まで解示した  
を思いつかないのでこれ以上は考へない事にする。

只無限後方で考えると  $\frac{\partial \phi}{\partial r} = 0$  のなどで  
あらうから、これを(2)を仮定すると(1)の解は

$$\frac{\partial^2 \phi}{\partial r^2} \phi(x, r, \theta) = 0 \quad (4)$$

$$\text{すなはち } \phi(x, r, \theta) = P \theta, P \text{ 定数}, \quad (5)$$

となり、これは翼面上にある circulation より  
誇導速度は次式で与えられる。

この車から考えると無限後方では上述の  
誇導速度はこの値に近づくであらう。

勿論この  $P$  は翼面上の束縛湯の半径で  
なければならぬ。

それ故プロペラ理論における幾種からこの湯による  
翼面上の  $\theta$  方向の誇導速度は(5)によるとの半分になら  
ず  $3/4 P$  。

もう一つの成分は  $x$ -方向の誇導速度を与えるのである  
が流量一定の条件下では又  $\theta$  方向の速度を補正する。